

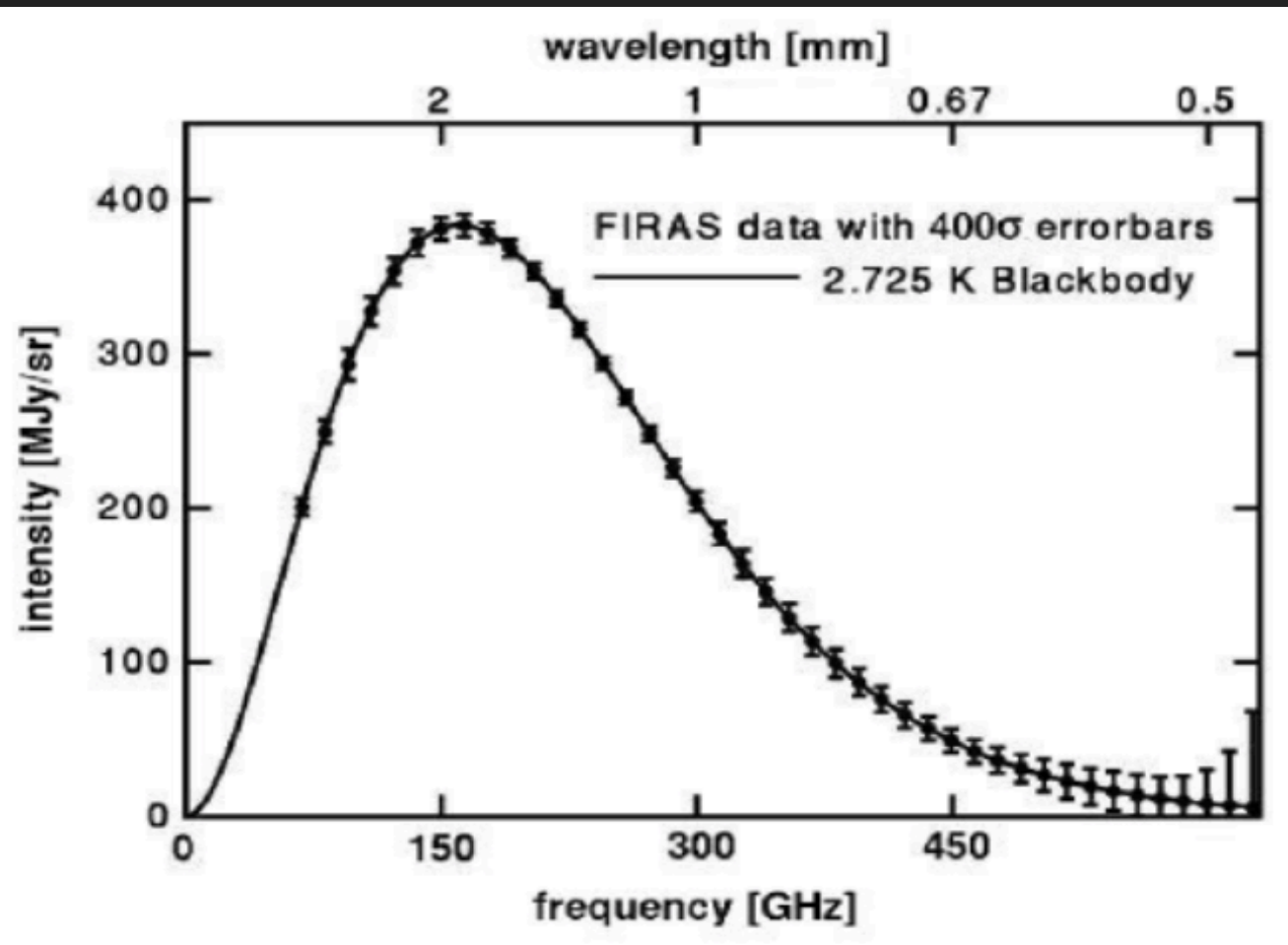
宇宙マイクロ波背景放射と ザックス・ヴォルフ効果

2019年度 天体形成研究会

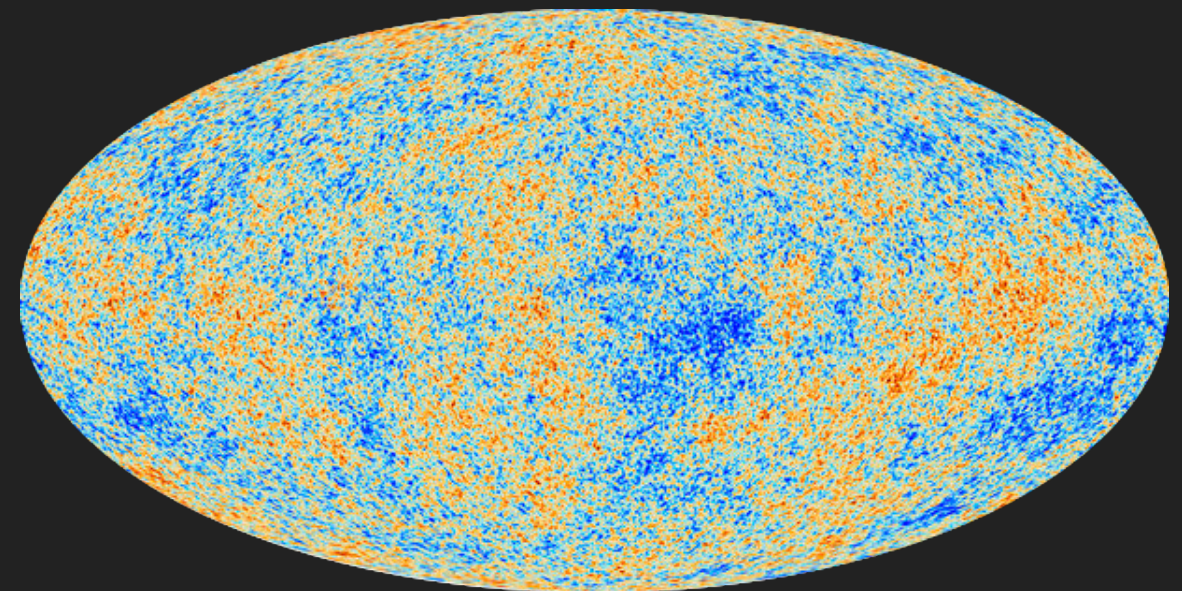
石倉 来実 (新潟大学 M1)

宇宙マイクロ波背景放射(CMB)とは

- ▶ 全天でほぼ等方的に観測される電磁波
- ▶ スペクトルは絶対温度2.7Kのプランク分布にほぼ一致
- ▶ わずかな温度ゆらぎの発見 ($\sim 10^{-5}$ 程度)



2013 PLANK



CMBの温度ゆらぎ

- ▶ 再結合期の地平線スケールよりも大きな角度でのゆらぎは
宇宙誕生直後の姿を我々に教えてくれる宇宙の化石

→ ザックス・ヴォルフ効果

- ▶ 温度ゆらぎの定量的な解析

→ パワースペクトル

CMBの温度ゆらぎの多重極展開

$$\frac{\Delta T}{T} = \sum_{l=1}^{\infty} \sum_{m=-l}^l a_{lm} Y_{lm}(\theta, \phi) \longrightarrow C_l = \frac{1}{2l+1} \sum_{m=-l}^l a_{lm} a_{lm}^*$$

慣習的に、

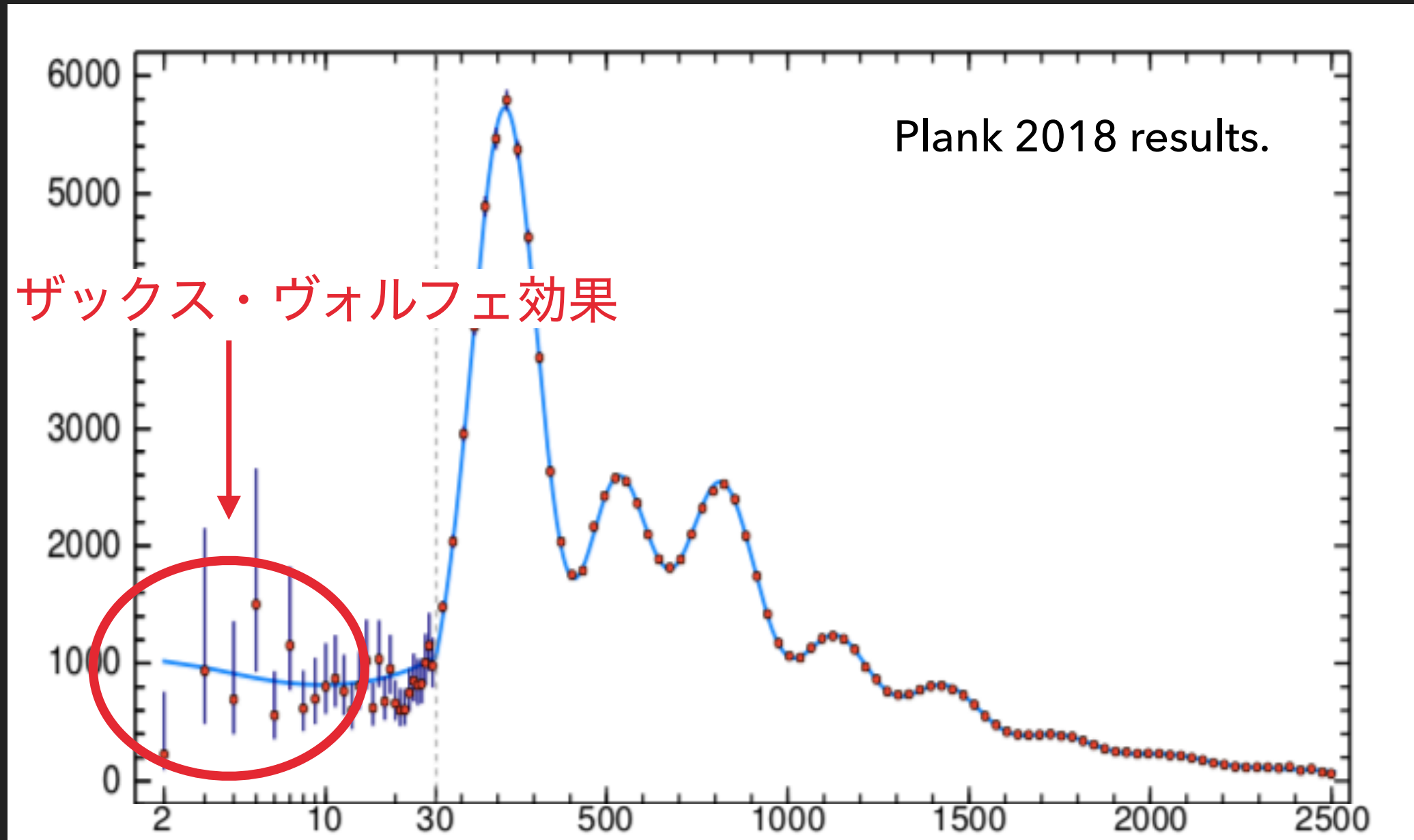
$$D_l = \frac{l(l+1)C_l}{2\pi} \text{ がよく使われる}$$

$$\left\{ \begin{array}{l} a_{lm} = \oint d\Omega Y_{lm}^* \left(\frac{\Delta T(\theta, \phi)}{T} \right) \\ Y_{lm}(\theta, \phi) = (-1)^m \sqrt{\frac{(2l+1)(l-m)!}{4\pi(l+m)!}} p_l^m(\cos \theta) e^{im\phi} \\ \oint d\Omega Y_{lm}^* Y_{l'm'} \equiv \int_0^\pi \sin \theta d\theta \int_0^{2\pi} d\phi Y_{lm}^*(\theta, \phi) Y_{l'm'}(\theta, \phi) = \delta_{ll'} \delta_{mm'} \text{ (正規直交関係)} \end{array} \right.$$

→ l を角度 $\theta \sim \frac{180^\circ}{l}$ に対応させ、 C_l を角度 θ での平均的な温度ゆらぎと解釈する。

パワースペクトル

パワースペクトル D_l



多重極モーメント l

ザックス・ヴォルフェ効果

物理法則

- 光線の測地線 $(a, b = 0 \sim 3)$ $\cdot \equiv \frac{d}{d\lambda}$

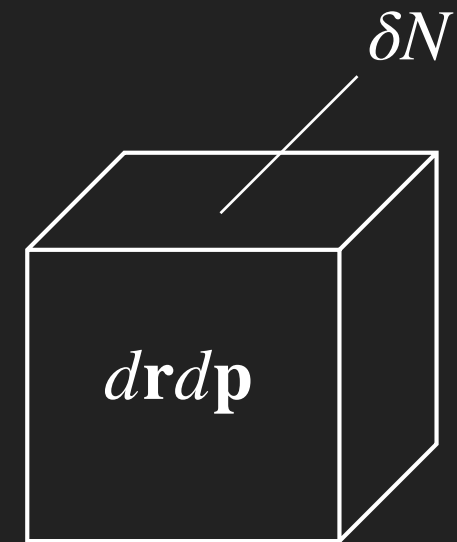
$$\left\{ \begin{array}{l} L = \frac{1}{2} \sum_{a,b=0}^3 g_{ab} \dot{x}^a \dot{x}^b = 0 \quad : \text{光線条件} \\ \frac{d}{d\lambda} \left(\frac{\partial L}{\partial \dot{x}^a} \right) = \frac{\partial L}{\partial x^a} \quad : \text{測地線方程式} \end{array} \right.$$

- 光子の位相空間と分布関数 $(x^0 = ct)$

$$\text{光子の4元運動量} : p_a = \frac{\partial L}{\partial \dot{x}^a}$$

$$\text{光子の位相空間} : (\mathbf{r}, \mathbf{p}) = (x^1, x^2, x^3, p_1, p_2, p_3)$$

$$\text{光子の位相体積要素に含まれる光子数} : \delta N = f(\mathbf{r}, \mathbf{p}, t) d\mathbf{r} d\mathbf{p}$$



物理法則

- 無衝突ボルツマン方程式

光線軌道上において $\frac{d}{dt}\delta N = 0$ が成り立つ場合の輸送方程式

$$\frac{df(\mathbf{r}, \mathbf{p}, t)}{d\lambda} = \frac{dt}{d\lambda} \frac{\partial f}{\partial t} + \sum_{i=1}^3 \left(\frac{dx^i}{d\lambda} \frac{\partial f}{\partial x^i} + \frac{dp_i}{d\lambda} \frac{\partial f}{\partial p_i} \right) = 0$$

$$\sigma = \sigma(\mathbf{r}, \mathbf{p}, t), \quad \frac{d\sigma}{d\lambda} = 0 \quad \Rightarrow \quad \frac{df}{d\lambda} = \frac{d\sigma}{d\lambda} \frac{dF(\sigma)}{d\sigma} = 0$$



$f = F(\sigma)$ は特解となる

一様等方宇宙におけるCMB

FLRW計量： $ds^2 = -c^2 dt^2 + a(t)^2(dx^2 + dy^2 + dz^2)$ (曲率 $K = 0$)

$$\left\{ \begin{array}{l} L = \frac{1}{2} \sum_{a,b=0}^3 g_{ab} \dot{x}^a \dot{x}^b = 0 \\ \frac{d}{d\lambda} \left(\frac{\partial L}{\partial \dot{x}^a} \right) = \frac{\partial L}{\partial x^a} \end{array} \right. \longrightarrow \begin{array}{l} \sigma = C \ln a(t) \\ f = F(\sigma) = (e^\sigma - 1)^{-1} \end{array} \quad (C > 0 : \text{定数})$$

<観測者と振動数>

・ ニュートン理論： $e^{i(kx - 2\pi\nu t)} = e^{2\pi i S(x,t)} \longrightarrow \nu = -\frac{\partial S}{\partial t}$

・ 相対論： $t \rightarrow \tau$, $\nu = -\frac{\partial S}{\partial \tau} = -\sum_{a=0}^3 \frac{dx^a(\tau)}{d\tau} \frac{\partial S}{\partial x^a}$

$$\therefore \nu = -\sum_{a,b=0}^3 g_{ab} \frac{dx^a(\tau)}{d\tau} \frac{dx^b(\lambda)}{d\lambda} = -\sum_{a,b=0}^3 g_{ab} u^a \dot{x}^b$$

電磁波に対する幾何光学近似

$$\frac{\partial S}{\partial x^a} = \sum_{b=0}^3 g_{ab} \frac{dx^b(\lambda)}{d\lambda}$$

一様等方宇宙におけるCMB

- 共動座標系に静止する観測者を設定

$$\nu = -g_{00}u^0\dot{x}^0 = c^2\dot{t} \rightarrow \sigma = C\dot{t}a(t) = \frac{C\nu a(t)}{c^2} = \frac{h\nu}{k_{\text{B}}T(a)}$$

$$T(a) = \frac{a_0}{a(t)}T_0 \quad , \quad C = \frac{hc^2}{k_{\text{B}}T_0a_0}$$

$$\therefore f = (e^\sigma - 1)^{-1} = \left(\exp \left(\frac{h\nu}{k_{\text{B}}T(a)} \right) - 1 \right)^{-1}$$

$$T(a) = \frac{a_0}{a(t)}T_0 = (1 + z(t))T_0 \quad z: \text{赤方偏移}$$

パラメータ T_0 は、熱力学的な温度の意味を持たない！

一様等方からゆらいでいる宇宙でのCMB(ダスト優勢)

▶ Einstein方程式を解く

$$R_{ab} - \frac{1}{2}Rg_{ab} = -8\pi GT_{ab}$$

- ・ 計量 (ニュートン・ゲージ) : (曲率 $K = 0$)

$$ds^2 = -e^{2\psi_N(\mathbf{r})}c^2dt^2 + e^{-2\psi_N(\mathbf{r})}a(t)^2(dx^2 + dy^2 + dz^2)$$

- ・ エネルギー運動量テンソル : $T^{ab} = \rho \frac{u^a}{c} \frac{u^b}{c} \quad (i = 1 \sim 3)$

$$\left\{ \begin{array}{l} T_{00} = \rho(t)c^2 (1 + \Delta(\mathbf{r}, t)) \\ T_{0i} = -\rho(t)c (1 + \Delta(\mathbf{r}, t)) a(t)v_i(\mathbf{r}, t) \\ T_{ij} = \rho(t)(1 + \Delta(\mathbf{r}, t)) a(t)^2 v_i(\mathbf{r}, t) v_j(\mathbf{r}, t) \end{array} \right.$$

一様等方からゆらいでいる宇宙でのCMB(ダスト優勢)

• Einstein方程式の線形解

$$\left\{ \begin{array}{l} \rho(t) = (6\pi G t^2)^{-1}, a(t) = A t^{\frac{2}{3}} \\ \frac{\partial \psi_N(\mathbf{r})}{\partial t} = 0 \quad (\text{ニュートン・ポテンシャルは } \psi_N(\mathbf{r})c^2) \\ \Delta_N(\mathbf{r}, t) = \frac{c^2 \nabla^2 \psi_N(\mathbf{r})}{4\pi G \rho(t) a(t)^2} = \frac{3c^2}{2A^2} \nabla^2 \psi_N(\mathbf{r}) t^{\frac{2}{3}} \propto a(t) \\ \mathbf{v}_N(\mathbf{r}, t) = \left(v_{Ni}(\mathbf{r}, t) \right) = -\frac{c^2 t}{a(t)} \nabla \psi_N(\mathbf{r}) \\ \mathbf{v}_N(\mathbf{r}, t) \cdot \mathbf{v}_N(\mathbf{r}, t) = \sum_{i=1}^3 \left(v_{Ni}(\mathbf{r}, t) \right)^2 = \left(\sum_{i,j=1}^3 g_{ij} u^i u^j \right)_N \end{array} \right.$$

一様等方からゆらいでいる宇宙でのCMB(ダスト優勢)

- ・ダストと共に遅い速度で運動する観測者の固有時

$$\begin{aligned} c^2 d\tau^2 &= e^{2\psi_N(\mathbf{r})} c^2 dt^2 - e^{-2\psi_N(\mathbf{r})} a(t)^2 \left(dx^2 + dy^2 + dz^2 \right) \\ &= e^{2\psi_N(\mathbf{r})} \left\{ 1 - e^{-4\psi_N(\mathbf{r})} a(t)^2 \left(\left(\frac{dx}{cdt} \right)^2 + \left(\frac{dy}{cdt} \right)^2 + \left(\frac{dz}{cdt} \right)^2 \right) \right\} \\ &\approx e^{2\psi_N(\mathbf{r})} c^2 dt^2 \end{aligned} \quad \ll 1$$

$$\therefore d\tau \approx e^{\psi_N(\mathbf{r})} dt \rightarrow \tau \approx e^{\psi_N(\mathbf{r})} t \rightarrow t(\mathbf{r}) = \tau(\mathbf{r}) e^{-\psi_N(\mathbf{r})}$$

再結合期は τ の意味で同時刻！

- ・Einstein方程式の線形解： $a(t) = At^{\frac{2}{3}}$ を用いると、

$$a(t(\mathbf{r})) = a(\tau(\mathbf{r})) e^{-\frac{2}{3}\psi_N(\mathbf{r})}$$

一様等方からゆらいでいる宇宙でのCMB(ダスト優勢)

・保存量を見つける

$$\left\{ \begin{array}{l} L = \frac{1}{2} \sum_{a,b=0}^3 g_{ab} \dot{x}^a \dot{x}^b = 0 \\ \frac{d}{d\lambda} \left(\frac{\partial L}{\partial \dot{x}^a} \right) = \frac{\partial L}{\partial x^a} \end{array} \right. \longrightarrow \begin{array}{l} \sigma_N = C_N a(t) e^{2\psi_N(\mathbf{r})} c^2 \dot{t} \quad (C_N > 0: \text{定数}) \\ f = F(\sigma_N) \end{array}$$

<観測者と振動数>

└ ダストと共に運動

$$\left\{ \begin{array}{l} (\dot{x}^a) = (c\dot{t}, \dot{x}, \dot{y}, \dot{z}) \approx c\dot{t} \left(1, \frac{-\mathbf{n}}{a(t)} \right), \quad \mathbf{n} \cdot \mathbf{n} = \sum_{i=1}^3 (n_i)^2 = 1 \\ (u^a) = \left(c e^{-\psi_N(\mathbf{r})}, \frac{v_{Ni}(\mathbf{r}, t)}{a(t)} \right) \end{array} \right.$$

$$\therefore \nu = - \sum_{a,b=0}^3 g_{ab} u^a \dot{x}^b \approx e^{\psi_N(\mathbf{r})} c^2 \dot{t} \left(1 + \frac{\mathbf{n} \cdot \mathbf{v}_N(\mathbf{r}, t)}{c} \right)$$

一様等方からゆらいでいる宇宙でのCMB(ダスト優勢)

$$\sigma_N = C_N a(t) e^{2\psi_N(\mathbf{r})} c^2 i = C_N \nu a(t) e^{\psi_N(\mathbf{r})} \left(1 + \frac{\mathbf{n} \cdot \mathbf{v}_N(\mathbf{r}, t)}{c} \right)^{-1} \quad i \Rightarrow \nu \text{ に書き換え!}$$

再結合期は τ の意味で同時刻! \rightarrow すべての \mathbf{r} に共通の同時刻 τ で表したい!
 $a(t) \rightarrow a(\tau)$ に書き換え

$$a(t(\mathbf{r})) = a(\tau(\mathbf{r})) e^{-\frac{2}{3}\psi_N(\mathbf{r})}$$

$$\sigma_N = C_N \nu a(\tau) e^{\frac{1}{3}\psi_N(\mathbf{r})} \left(1 + \frac{\mathbf{n} \cdot \mathbf{v}_N(\mathbf{r}, \tau)}{c} \right)$$

$$\sigma_N = C_N \nu_0 a_0 \exp\left(\frac{1}{3}\psi_N(\mathbf{0})\right) \left(1 + \frac{\mathbf{n} \cdot \mathbf{v}_N(\mathbf{0}, \tau_0)}{c} \right)^{-1} \quad \leftarrow \text{現在}$$

$$= C_N \nu_{\text{rec}} a_{\text{rec}} \exp\left(\frac{1}{3}\psi_N(\mathbf{r})\right) \left(1 + \frac{\mathbf{n} \cdot \mathbf{v}_N(\mathbf{r}, \tau_{\text{rec}})}{c} \right)^{-1} \quad \leftarrow \text{再結合時}$$

一様等方からゆらいでいる宇宙でのCMB(ダスト優勢)

$$C_N \nu_0 a_0 \exp\left(\frac{1}{3}\psi_N(\mathbf{0})\right) \left(1 + \frac{\mathbf{n} \cdot \mathbf{v}_N(\mathbf{0}, \tau_0)}{c}\right)^{-1} = C_N \nu_{\text{rec}} a_{\text{rec}} \exp\left(\frac{1}{3}\psi_N(\mathbf{r})\right) \left(1 + \frac{\mathbf{n} \cdot \mathbf{v}_N(\mathbf{r}, \tau_{\text{rec}})}{c}\right)^{-1}$$

$$\frac{\nu_0}{\nu_{\text{rec}}} = \frac{a_{\text{rec}}}{a_0} \left[1 + \frac{1}{3} \{ \psi_N(\mathbf{r}) - \psi_N(\mathbf{0}) \} - \frac{\mathbf{n}}{c} \cdot \{ \mathbf{v}_N(\mathbf{r}, \tau_{\text{rec}}) - \mathbf{v}_N(\mathbf{0}, \tau_0) \} \right]$$

・ CMBの温度ゆらぎを $\frac{T_0(\mathbf{n})}{T_{\text{rec}}} = \frac{\nu_0}{\nu_{\text{rec}}}$ で定義

$$\frac{T_0(\mathbf{n})}{T_{\text{rec}}} = \frac{a_{\text{rec}}}{a_0} \left[1 + \frac{1}{3} \{ \psi_N(\mathbf{r}) - \psi_N(\mathbf{0}) \} - \frac{\mathbf{n}}{c} \cdot \{ \mathbf{v}_N(\mathbf{r}, \tau_{\text{rec}}) - \mathbf{v}_N(\mathbf{0}, \tau_0) \} \right]$$

$$\equiv \frac{a_{\text{rec}}}{a_0} \left(1 + \frac{\Delta T_0(\mathbf{n})}{T_0} \right) \longrightarrow \text{ザックス・ヴォルフ効果}$$

ザックス・ヴォルフェ効果

$$\begin{aligned}\frac{\Delta T_0(\mathbf{n})}{T_0} &= +\frac{1}{3} (\psi_N(\mathbf{r}) - \psi_N(\mathbf{0})) && \text{: ポテンシャル差} \\ &\quad -\frac{\mathbf{n}}{c} \cdot \{ \mathbf{v}_N(\mathbf{r}, \tau_{\text{rec}}) - \mathbf{v}_N(\mathbf{0}, \tau_0) \} && \text{: 速度差} \\ &\quad +0 && \text{: ポテンシャルの時間変動}\end{aligned}$$

再結合期でのポテンシャル項と速度項の比較を行う！



$$\left| \frac{\mathbf{v}_N(\mathbf{r}, \tau_{\text{rec}})}{c\psi_N(\mathbf{r})} \right| \text{ の比較}$$

ザックス・ヴォルフ効果

<ポテンシャル項と速度項の比較 (再結合期)>

$$\left| \frac{\mathbf{v}_N(\mathbf{r}, \tau_{\text{rec}})}{c\psi_N(\mathbf{r})} \right| = \left| \frac{ct_{\text{rec}} \nabla \psi_N(\mathbf{r})}{a\psi_N(\mathbf{r})} \right| \quad \left(\because \mathbf{v}_N(\mathbf{r}, t) = \left(v_{N_i}(\mathbf{r}, t) \right) = -\frac{c^2 t}{a(t)} \nabla \psi_N(\mathbf{r}) \right)$$

• 波長 L_x のゆらぎ : $\psi_N(x) = \Psi_N \sin\left(\frac{ax}{L_x}\right) \rightarrow \frac{\partial \psi_N(x)}{\partial x} = \frac{a\Psi_N(x)}{L_x} \cos\left(\frac{ax}{L_x}\right) \sim \frac{a}{L_x} \psi_N(x)$

y, z についても同様 $\therefore \nabla \psi_N(\mathbf{r}) \sim \frac{a}{L_X} \psi_N(\mathbf{r})$

• $a(t) = At^{\frac{2}{3}}$ より、

宇宙の大きさ : $L_H(t_{\text{rec}}) \equiv \frac{c}{H(t_{\text{rec}})} = \frac{c}{(\dot{a}/a)_{t_{\text{rec}}}} = \frac{3}{2} ct_{\text{rec}} \sim ct_{\text{rec}}$

$$\therefore \left| \frac{\mathbf{v}_N(\mathbf{r}, \tau_{\text{rec}})}{c\psi_N(\mathbf{r})} \right| = \left| \frac{ct_{\text{rec}} \nabla \psi_N(\mathbf{r})}{a\psi_N(\mathbf{r})} \right| \sim \frac{ct_{\text{rec}}}{L_X} \sim \frac{L_H(t_{\text{rec}})}{L_X}$$

まとめ

- ▶ CMBのスペクトル分布は、ほぼ2.7Kのプランク分布
- ▶ CMBにはわずかな温度ゆらぎがある
- ▶ 大角度スケールの温度ゆらぎ
→ ザックス・ヴォルフェ効果(重力項+速度項)

APPENDIX

角径距離

- ・ FLRW計量：

$$ds^2 = -c^2 dt^2 + a(t)^2 \left\{ d\chi^2 + \left(\frac{\sinh(\sqrt{-K}\chi)}{\sqrt{-K}} \right)^2 (d\theta^2 + \sin^2 \theta d\phi^2) \right\}$$

- ・ フリードマン方程式：

$$\left(\frac{\dot{a}}{a} \right)^2 = \left(\frac{\dot{z}}{1+z} \right)^2 = H_0^2 \left\{ \Omega_m (1+z)^3 - \frac{Kc^2}{(a_0 H_0)^2} (1+z)^2 + \Omega_\Lambda \right\}$$

- ・ 角径距離 d_A ：

$$d_A \equiv a(t) \frac{\sinh \left(\sqrt{-K} \chi(z) \right)}{\sqrt{-K}} \quad \text{※フリードマン方程式より、} \frac{Kc^2}{(a_0 H_0)^2} = \Omega_m + \Omega_\Lambda - 1$$

$$\chi(z) \equiv \int_0^{t(z)} \frac{cdt}{a(t)} = \frac{c}{a_0 H_0} \int_0^z \frac{dz'}{\sqrt{\Omega_m (1+z')^3 + (1 - \Omega_m - \Omega_\Lambda)(1+z')^2 + \Omega_\Lambda}}$$

角径距離

- $\Omega_m = 0, \Omega_\Lambda = 0$:

$$\frac{H_0 d_A}{c} = \frac{1}{2} \left(1 - \frac{1}{(1+z)^2} \right)$$

- $\Omega_m > 0, \Omega_\Lambda = 0$:

$$\frac{H_0 d_A}{c} = \frac{2}{\Omega_m^2 (1+z)^2} \left\{ \Omega_m z + (\Omega_m - 2) \left(\sqrt{\Omega_m z + 1} - 1 \right) \right\}$$

- $\Omega_m = 0, \Omega_\Lambda > 0$:

$$\frac{H_0 d_A}{c} = \frac{1}{\Omega_\Lambda} \left(1 - \sqrt{\frac{\Omega_\Lambda}{(1+z)^2} - \Omega_\Lambda + 1} \right)$$

※ $\Omega_\Lambda > 1$ のとき、 $z \leq \sqrt{\frac{\Omega_\Lambda}{\Omega_\Lambda - 1}} - 1$ を見たす z のみが可能.

CMBの温度ゆらぎの多重極展開

$$\text{CMBの温度ゆらぎ} \quad \frac{\Delta T(\theta, \phi)}{T} \equiv \frac{T'(\theta, \phi) - T}{T} \quad (T \text{ は } T' \text{ の平均})$$

$$\frac{\Delta T}{T} = \sum_{l=1}^{\infty} \sum_{m=-l}^l a_{lm} Y_{lm}(\theta, \phi) \longrightarrow C_l = \frac{1}{2l+1} \sum_{m=-l}^l a_{lm} a_{lm}^*$$

慣習的に、

$$D_l = \frac{l(l+1)C_l}{2\pi} \text{ がよく使われる}$$

$$a_{lm} = \oint d\Omega Y_{lm}^* \left(\frac{\Delta T(\theta, \phi)}{T} \right)$$

$$Y_{lm}(\theta, \phi) = (-1)^m \sqrt{\frac{(2l+1)(l-m)!}{4\pi(l+m)!}} p_l^m(\cos \theta) e^{im\phi}$$

$$\oint d\Omega Y_{lm}^* Y_{l'm'} \equiv \int_0^\pi \sin \theta d\theta \int_0^{2\pi} d\phi Y_{lm}^*(\theta, \phi) Y_{l'm'}(\theta, \phi) = \delta_{ll'} \delta_{mm'} \quad (\text{正規直交関係})$$

パワースペクトル

$$\theta \sim \frac{180^\circ}{l}$$

※以下、 $\Omega_K = 0$, $\Omega_\Lambda = 0$ とする.

$$\begin{aligned} \cdot \quad l_{\text{rec}} &\equiv \left(\frac{ca}{\dot{a}} \right)_{\text{rec}} \approx \frac{c}{H_0 \sqrt{\Omega_m} \left(1 + z_{\text{rec}}^{\frac{2}{3}} \right)} \\ &= 226 \sqrt{\frac{0.13}{\Omega_m h^2}} \left(\frac{1100}{1 + z_{\text{rec}}} \right)^{\frac{2}{3}} \text{ kpc} \end{aligned}$$

$$\cdot \quad (d_A)_{\text{rec}} \approx \frac{2c}{H_0 \Omega_m^2 (1 + z_{\text{rec}})^2} \{ \Omega_m z_{\text{rec}} + (\Omega_m - 2)(\sqrt{\Omega_m z_{\text{rec}} + 1} - 1) \}$$

$$\therefore \theta_{\text{rec}} \equiv \frac{l_{\text{rec}}}{(d_A)_{\text{rec}}} \approx \sqrt{\frac{\Omega_m}{4z_{\text{rec}}}} = 27' \sqrt{\left(\frac{\Omega_m}{0.27} \right) \left(\frac{1100}{z_{\text{rec}}} \right)} \sim 0.5^\circ \text{ 程度} \quad \Longleftrightarrow \quad l \sim 10^2$$

